

# 電解海水用鎳基 C-276 合金之侵蝕研究

李日輝\*・邱善得\* 譯

## Study on The Etching Damage of Alloy C-276 in Sea Water Electrolyzer

Jih-Hui Li, San-Der Chyou

### 摘要

鎳基 C-276 材料用於電廠海水電解設備之陰極板，經長期使用發現有損壞情形。本研究旨在探討各種可能導致損壞之原因，俾提供極板整修之依據。首先進行實驗室模擬放電試驗，以探究短路是否為電極損壞之原因。此外亦進行陰極定電位試驗，以探討氫氣釋放對電極損壞之影響。現場及模擬之試樣，以下列各種方式進行分析：以高溫萃取定氫法分析氫含量、以 XRD 分析材料之相變態及晶格變化、以 ESCA 作材料表面分析。重要之結果如下：

1. 由模擬試驗推測陰極板穿孔是短路放電所致。
2. 表面之侵蝕現象，可能是因電極長期受到初生態氫對鎳、鉻及鉬之氧化物產生還原性溶解之化學作用，及氫氣泡對電極產生之機械侵蝕作用。

### ABSTRACT

Nickel based alloy was used as the cathodic electrode in the facility of sea water electrolysis in power plant, some corrosive phenomena were found after two-year operation. An arcing test was conducted in the laboratory to simulate the field phenomena. A test performed under a cathodic potential was also used to study the effect of the release of hydrogen on this phenomenon. The samples of field and laboratory were investigated by the following techniques: SEM, XRD; ESCA etc. Some conclusions can be drawn as the following:

- (1)The perforation of the electrode is most probably caused by an arcing between the cathode and its neighboring anode.
- (2)The etching phenomena of the electrode can be explained by the chemical effect

---

\*台灣電力公司電力綜合研究所  
Power Research Institute, Taiwan Power Company

of hydrogen reduction, and the mechanical effect of hydrogen bubble on the electrode.

**Key words:** nickel based alloy, sea water electrolysis, electric arcing, cavitation erosion.

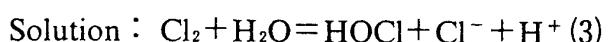
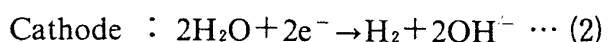
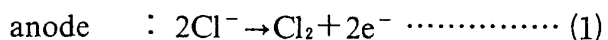
## 一、前 言

國內火力及核能發電廠之汽輪機低壓排汽，皆以海水熱交換器將蒸汽冷凝成純水後再反覆使用。海水中所含大量動物性或植物性海生物，則可能附著在熱交換器之管路上，一方面可能引起堵塞而降低熱傳導效率，另一方面則可能引起熱交換管材之腐蝕，而影響發電之品質。為了避免上述問題之發生，國內汽力發電廠皆採用加注氯氣、或電解海水產生次氯酸鈉(NaOCl)，來抑制海生物在熱交換器管路之附生；由於電解海水之方式效果極佳，且基於環保與長期成本之考量，國內各電廠已陸續改採電解海水方式。本公司電廠所採用的海水電解設備，依電極型式，可分為三種，第一種採用網狀陽極，平板狀陰極；第二種為雙極式(bipolar)，即同一片極板，通電感應後，一半成為陰極，一半為陽極，第三種型式為同心軸式，陽極為一圓軸，陰極則為一圓管環繞陽極，此三種海水電解設備，以第一種之極板間距最小(1.17mm)，電解效率最高，採用的電廠也最多，而以大林電廠於民國73年5月正式運轉為最早。該項設備在大林電廠的長期運轉下，發現陰極會產生沉澱物堆積現象，其中有部分即使藉酸洗仍無法清除，有些陰極因此發生變形<sup>(1)</sup>；並且有穿孔現象。

## 二、文獻參考

電解海水時，陽極產生氯氣，陰極產生

氯氣，此氯氣進一步與溶液反應生成次氯酸根，反應式如下<sup>(2)</sup>：



此次氯酸根即可以抑制海生物附生，保護管路材料。電解海水時，除了上述產生氯氣及氫氣之主反應外，亦會發生氫氧化鎂及氫氧化鈣之副反應<sup>(2)</sup>，降低電解效率，並且這些鈣鎂的氫氧化物會在陰極沈積，堵塞海水於電極間之通路，減少了海水流量<sup>(2)</sup>，導致此局部因散熱不良而發生陰極板彎曲<sup>(1)</sup>，尤有甚者，有些陰極有穿孔現象；另外，對於設備運轉下，陰極材料表面生成許多的氫氣，雖然早期的文獻報導鎳基材料是很好的抗氫脆材料<sup>(3)</sup>。然而新近有些文獻報導鎳會形成不穩定之氫化物<sup>(4,5)</sup>，而有氫脆之現象，並且研究發現，與鎳合金同屬於沃斯田鐵組織之304不銹鋼，經過電化學方法充氫後，會引發相變態<sup>(6-8)</sup>，雖然其為不穩定之ε麻田散鐵，然而卻可造成5%之晶格變化<sup>(6)</sup>，造成脆化現象。在海水電解設備中，陰極表面會產生大量氫氣，其中部分為陰極材料所吸收，鎳基材料長期處於如此情況下，其是否吸收大量氫氣，生成氫化物，導致體積膨脹造成材料變形，導致極板短路，亦為吾人所關注之問題。

三、實驗

本研究主要目的在於探討現場陰極板之

# 電解海水用鎳基C-276合金之侵蝕研究

穿孔原因，及陰極板之氫脆行為。實驗工作詳述如下：

極板破損成因探討：在此我們主要是於光學及電子顯微鏡下，觀察其破損情形，並探討其原因。由於陰極板可能為短路燒毀，為了更進一步了解其機構，我們以商用鎳基C-276板製成工作電極，以甘汞電極為參考電極，並以直徑1.5mm之鎢棒為輔助電極，實驗前將鎢棒前端磨尖，控制電位在-3V(SCE)下，以鎢棒碰觸鎳基C-276金屬表面，以模擬放電，實驗裝置是以兩片壓克力板及一段壓克力管組合而成，而以固定螺絲使上下壓克力片將壓克力管迫緊，管片接合處嵌有O型環，鎳基C-276板平鋪於底部，鎢棒固定於上壓克力片，垂直接觸鎳基C-276板，如圖1，因此當兩極因短路放電，而導致距離變大時，我們可以調緊固定螺絲，而使兩極在同一位置持續放電，因而得到一個連續受放電侵蝕之陰極表面蝕孔。

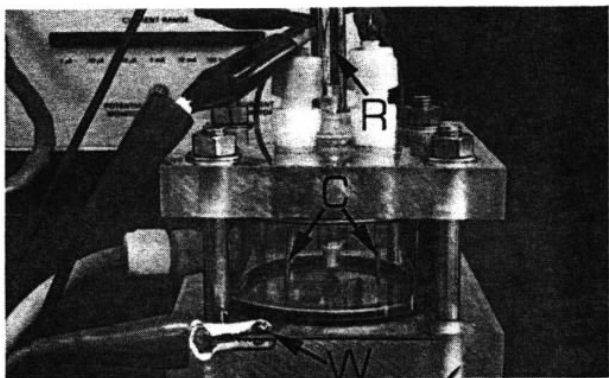


圖1 短路放電模擬實驗裝置

氫脆研究：此部份研究使用商用之鎳基C-276材料，如表1，實驗工作包括a. 定電位充氫試驗 b. 氢含量分析 c. X-Ray相分析。

定電位試驗：

將15x25 mm之試片兩面均研磨至600

表1 使用材料C-276化學成份

成份	Ni	Cr	Mo	Fe	W
wt%	56.9	15.38	15.95	5.98	3.49
成份	Co	Mn	Si	P	S
wt%	1.79	0.46	0.04	0.005	0.002

號，連接銅線後，以止洩帶及保護膠將接點加以保護，再於人工海水中以EG&G 363控制電位在相對於飽和甘汞電極(SCE)-1.2V或-2V下試驗，試驗完畢取出試片立即進行X-ray相分析，或保存於液態氮，以備進一步分析氫含量。

氫含量分析：

本實驗採用高溫真空萃取定氫法<sup>(9)</sup>。將充氫試片自液態氮中取出後，迅速以絲瓜布清洗表面，並以丙酮清洗、烘乾，再置入上述裝置中，首先抽真空至 $2 \times 10^{-3}$  torr，然後將試片加熱至650°C保持20 min以趕出氫氣，氫氣以水銀萃取收集，完全隔絕於空間內鑲有鈀—銀30合金管之一端，而與其餘之空間形成一壓力之平衡，並顯示一讀值於刻度上，當加熱鈀—銀合金管至300°C時，此管僅允許氫氣通過而完全逸去，此時於刻度上得到一個新讀值，由此壓力差即可計算得氫氣量，其度量單位為cc/100g金屬。

X-Ray相分析：

使用SIEMENS D500型X光儀，操作條件為：銅靶，電壓40KV，電流30mA，掃描角度10~90°，每0.5秒移動0.02°。將試片自定電位試驗裝置取出，迅速置於載物台進行分析，以取得其繞射強度。並分析其波峰之強度，及角相對應之D值。

## 四、結 果

現場件損壞原因探討：

圖 2 為發生穿孔及蝕孔之陰極板照片，圖 2 中每一個亮點，均是一侵蝕孔，我們發現所有的蝕孔均發生在陽極網交叉位置涵蓋下，其他不在網下之區域則未見任何蝕孔。圖 3 則為前述陰極板之蝕孔電子顯微鏡照片。圖 3a 為蝕孔之全貌。圖 3b、c 均為圖 3a 之放大，其相關位置如圖 3a 上所標示，圖 3b 顯示蝕孔內有波浪狀痕跡，圖 c 則顯示一連串小蝕孔，蝕孔間亦有一些波浪狀痕跡。在同一片陰極板上，我們亦觀察到一些晶界侵蝕現象，晶粒內亦有許多小侵蝕孔，如圖 4，圖 4a 為在陽極網交叉位置對應下之侵蝕照片，圖中左側箭號所指，即為晶界及晶粒內侵蝕孔，在圖 4a 中亦發現有類似凹渦侵蝕 (Cavitation Erosion)<sup>(10)</sup> 的現象，如圖中右側箭頭所指之區域，圖 4b 則為不在陽極網對應下的晶界侵蝕及微小蝕孔，所不同於圖 4a 者，為後者受侵蝕較輕微表面顯得較平坦。圖 5 為前述陰極板之橫截面電子顯微鏡照片，圖中箭號所指之微小隆起，像是內部氣體所引起。

在模擬短路放電時，由於鎢棒每一次靠近陰極板造成短路之位置不盡相同，而得到如圖 6a 之蝕孔，圖中顯示蝕孔由許多小侵蝕孔所形成，近一步將其邊緣局部放大，如圖 6b，發現其每一個小蝕孔底部均平滑且



圖 2 陰極板蝕孔立體顯微鏡照片

淺，邊緣亦為波浪狀，如箭頭所指。此一侵蝕情形和圖 3a 所示完全一致。

#### 電化學及氫脆研究：

圖 7 為定電位充氫試片，不同電位下其氫含量與時間之關係。值得注意的是，即便是上述高含氫量的試片，其橫截面並無發現任何裂縫，將 -2V 下充氫 688 小時後之試

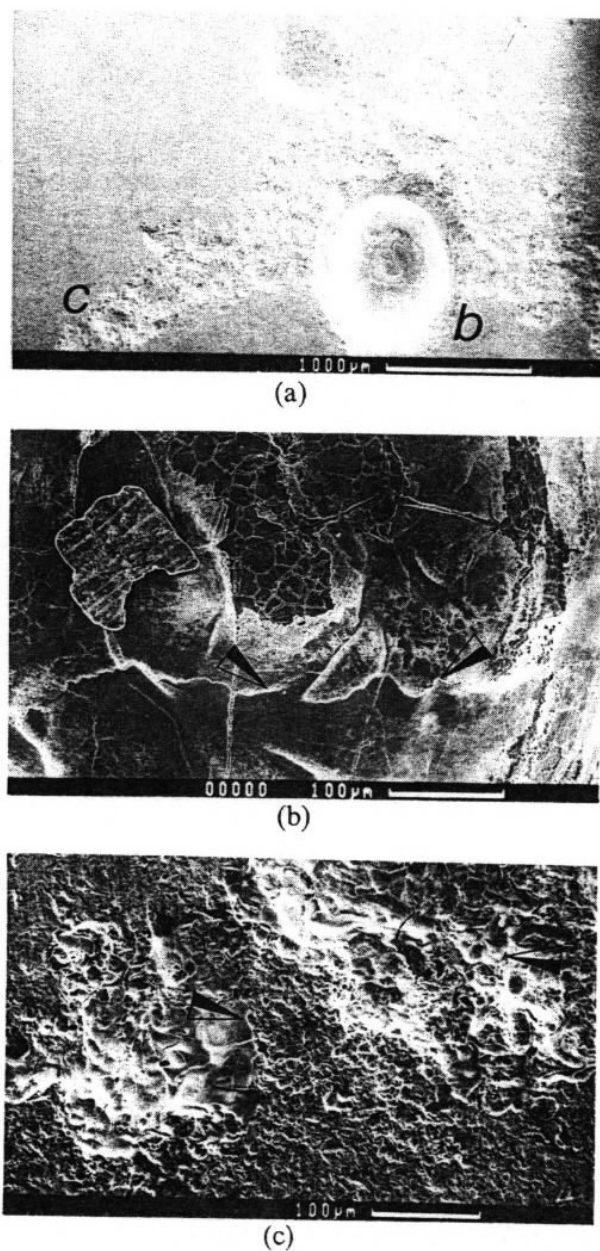
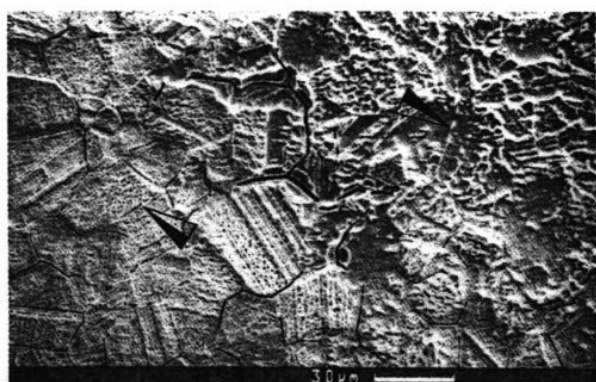
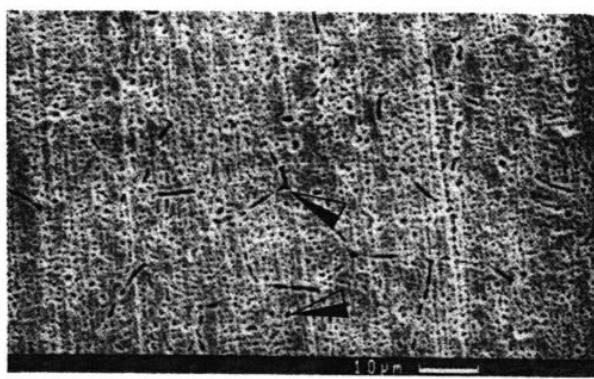


圖 3 陰極板蝕孔電子顯微鏡照片  
(b) (c) 為 (a) 之放大

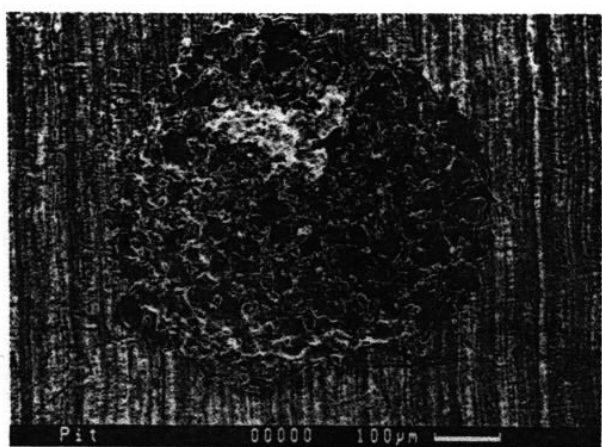


(a)

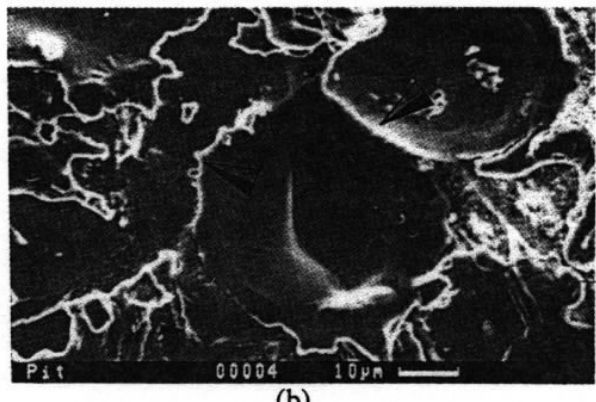


(b)

圖 4 陰極板表面受侵蝕之電子顯微鏡照片  
(a) 陽極網交叉之對應區域  
(b) (a) 以外區域



(a)



(b)

圖 6 短路放電後，陰極板電子顯微鏡照片  
(a) 放電蝕孔全貌 (b) (a) 之放大

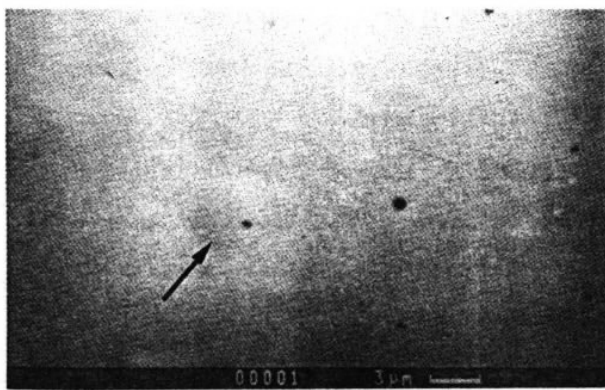


圖 5 陰極板截面電子顯微鏡照片

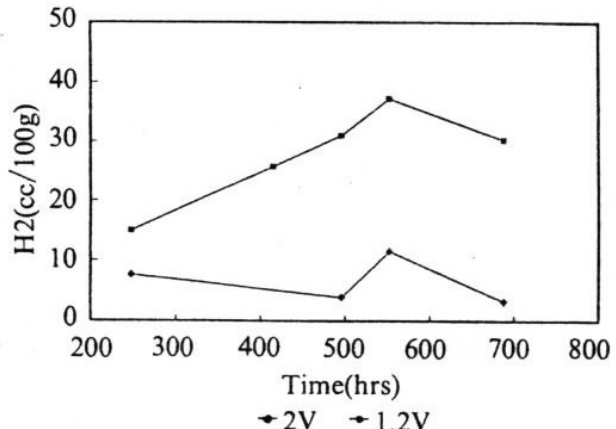


圖 7 不同時間、電位下，試片充氫後之氫含量

片以 X-ray 進行相分析，如圖 8 所示，並未發現新的波峰或者波峰之偏移，進一步將這些波峰之晶格距離及強度加以數據化示於

表 2 ( 參考 304 不銹鋼及 Ni-Cr-Co-Mo 合金之 JCPD 卡 )，表 2 顯示充氫後其晶格

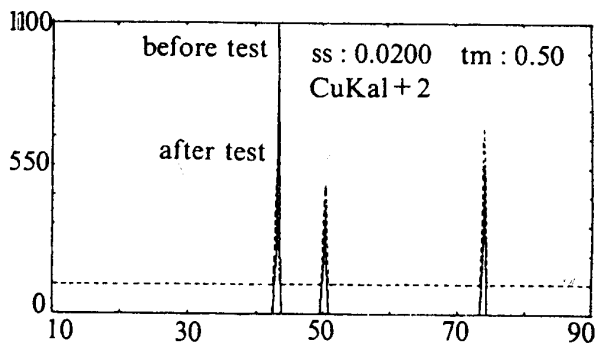


圖 8 陰極定電位充氣前後，試片 X-ray 繞射圖

表 2 試片充氣處理前後 X-ray 繞射強度 (I) 及 D 值

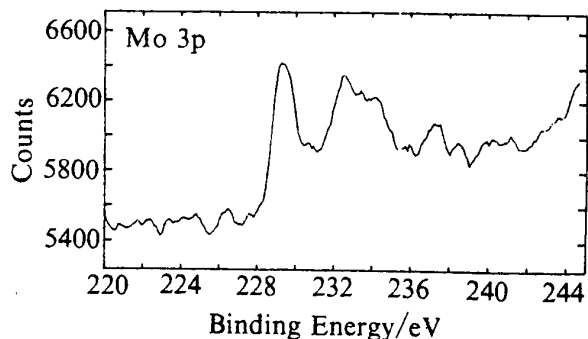
	(111)		(200)		(220)	
	D	I	D	I	D	I
充氣前	2.0834	1099	1.8068	413	1.2762	577
充氣後	2.0864	509	1.8086	338	1.2780	553

距離 (D 值) 變化約 0.1%。不過從此三個波峰之相對強度，可以看出，充氣量高者，其在 74.27° 之波峰相對地提高；繞射強度成為最高。在陰極定電位下陰極表面所產生之沈積物，經 X-ray 分析，其主要成分為氫氧化鎂及少量的鈣鎂碳酸鹽。定電位試驗前後之試片以 ESCA 分析其化學結合能，圖 9 即顯示試驗前後鉬元素之結合能偏移情形。比較此兩圖發現高氧化態之能譜強度降低，而低氧化態之能譜強度增加之，顯示部分鉬的氧化物有被還原現象。

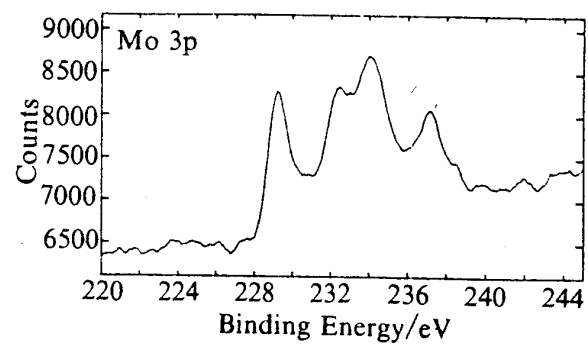
## 五、討 論

極板穿孔原因探討：

圖 2 為發生穿孔之陰極板照片，其所有大大小小的蝕孔，均發生於陽極網交叉之對



(a) 試驗前



(b) 試驗後

圖 9 陰極定電位試驗前後鉬元素之結合能譜

應位置。為了了解其成因，我們將其電子顯微鏡照片，如圖 3，與短路放電後，陰極板之蝕孔照片進行比較。結果發現此二種試片其蝕孔均有如下之共同特徵：1. 每一蝕孔內面均為平滑曲面，形狀既寬且淺。2. 蝕孔邊緣有波浪狀特徵。何以有此兩種特徵，可以短路放電的模式，加以說明如下：當短路放電發生時，金屬被局部電弧熔成液態，液態金屬再以此點為中心向外飛濺，因此此類蝕孔淺且表面平滑，並且由於熔融金屬向外飛濺，因而形成波浪狀痕跡。由以上的証據，以及蝕孔均發生於陽極網交叉部位之對應位置，我們相信如圖 2 之陰極板蝕孔，很可能是因短路而造成。

氫氣引發之相關問題探討：

海水電解設備中，陰極板表面會產生大

## 電解海水用鎳基C-276合金之侵蝕研究

量初生態的氫，此初生態的氫有一部分可能被金屬吸附，並且進一步加以吸收，在材料內部形成氫氣，然而此初生態的氫，其大部分會合成氫氣而離開材料表面<sup>(11)</sup>。

上述的反應如下：



因此，在這裡氫氣引發了兩個問題，一是被鎳基 C-276 吸收的氫氣會不會造成此一材料的氫脆？一是大量的氫氣離開金屬表面，加上系統內海水約  $1\text{m/sec}$  的流量，是否造成對材料的衝蝕 (Erosion)？

根據實驗室進行的定電位試驗，我們發現於 -2V(SCE)電位下，保持688小時，材料內部的氰氣達到30.27 cc/100g 之氰氣（約30ppm）。依據 F. G. Jones, R. D. Pehlke 之研究<sup>(12)</sup>，氰在純鎳中之溶解度，在 734 °C 為 6.69ppm 於 1221°C 為 12.53ppm，而低溫時其溶解度則更低。則本研究中材料部吸收過多的氰，應該會發生相變化，甚至導致裂縫產生，然而我們將比一材料切取橫切面觀察，並未看到任何裂縫，並且，X 光分析也並未看到其發生如 304L 之相變化<sup>(6-8)</sup>，倒是各個繞射波峰的強度均減少，而以 (220) 面變化最少，此可能由於面心立方材料，其 (110) 面堆積緊密，氰氣無法挿入所致，而 (100) (111) 面則仍有容許氰氣挿入之空間，因而造成 X 光繞射光譜，其相對強度有所改變。由現場提供之陰極板材料的橫切面電子顯微鏡照片，我們發現如圖 7 c 的隆起。我們知道氰氣在材料內部，可以存在於晶界或析出物附近，也可以形成氣孔 (Pore)<sup>(13)</sup>，本研究之鎳基材料，其內部形成

氣孔 (Pore)，正是因為吸收過多的氯。

在圖 4a 中我們發現類似渦凹侵蝕 (Cavitation Erosion) 現象，首先我們以 R. W. Henke<sup>(14)</sup> 所提出的渦凹侵蝕模式加以說明如下：當材料處於擾動之溶液中，因局部之真空導致在材料表面產生氣泡，氣泡在此真空中瞬間膨脹而爆破。當此氣泡爆破時，會產生極大的力量而侵蝕材料表面。此一破壞模式特別容易發生在溶液流速高而不穩定的情況下，例如抽水邦浦的翼片之損壞，經常是屬於此一型式之破壞。此爆破力經計算<sup>(14)</sup> 可高達 60,000 磅／英吋平方，此一力量足以對材料造成塑性破壞。本研究之陰極板表面不斷有大量氫氣產生並離開，然其流速僅為 1M/sec，較一般抽水邦浦中之流速為低，因此推測其渦凹侵蝕可能較輕微。因此吾人相信除了渦凹侵蝕外，本陰極板可能還受到其它機械或化學型式之作用。

圖 4a、b 為現場陰極板表面之侵蝕情形，圖中顯示許多圓形小孔，並且在靠近陽極網交叉之對應位置侵蝕較嚴重。由於此位置是氰氣產生較迅速之區域，因此吾人推測氰氣產生之多寡應與侵蝕有密切之關係，茲就氰氣產生可能導致之機械與化學作用討論如下：由陰極定電位試驗前後試片之 ESCA 分析結果知，鎳鉻鉬等之保護性氧化膜，長期曝露在此還原性氰氣中，可能完全被還原而失去其保護性，導致材料之腐蝕。再者大量初生態的氰原子結合為氰氣時，其體積膨脹對材料表面產生一機械作用力，此亦可能剝離材料表面之原子。

## 六、結論

- (1) 定電位試驗，陰極所產生之沈積物，經 X-ray 分析為氯氧化鎂及少量的鈣鎂碳酸鹽。

- (2)陰極材料充氫688小時至氫含量30.27 cc/  
100g 仍不會發生相變化，金相亦未發現  
氫氣造成之裂縫或起泡等現象，顯示此陰  
極不易受氫氣影響。
- (3)陰極板之穿孔，是由於短路造成電弧放電  
所致。

參考資料

- (1)李麗珍，77年度火力及核能電廠化學聯合營運  
會議專題報告 p16。
- (2)葉江榮，台電工程月刊，第433期 p75，73年9  
月。
- (3)Mars G. Fontana "Corrosion Engineering"  
Third Edition P150.
- (4)J. Zakroczymski, Z. S. Smialowska and M.  
Smialowski, Corrosion, vol. 39, 207 (1983).
- (5)M. L. Holzworth and M. R. Louthan, Corro-  
sion, vol. 24, 110 (1968).
- (6)A. Szummer and A. Janko, Corrosion, vol.  
35, 461 (1979).
- (7)M. L. Holzworth, Corrosion, vol. 25, 107  
(1969).
- (8)R. B. Leonard, Corrosion, vol. 25, 222  
(1969).
- (9)S. L. I. Chen, J. S. Wu and C. L. Ho, Chinese  
Journal of Materials Science, vol. 22, 79  
(1990).
- (10)Lothar Engel, Hermann Klingele "An Atlas  
of Metal Damage" P199.
- (11)S. L. I. Chen, M. Marting-Madrid and J. A.  
Charles Metals Technology Vo. 1. 10, P464  
(1983).
- (12)F. G. Jones and R. D. Pehlke, Metallurgical  
Transaction, Vol. 2, 2655 (1971).
- (13)Lothar Engel, Hermann Klingele "An Atlas  
of Metal Damage" P122.
- (14)Mars G. Fontana "Corrosion Engineering"  
Third Edition P105.